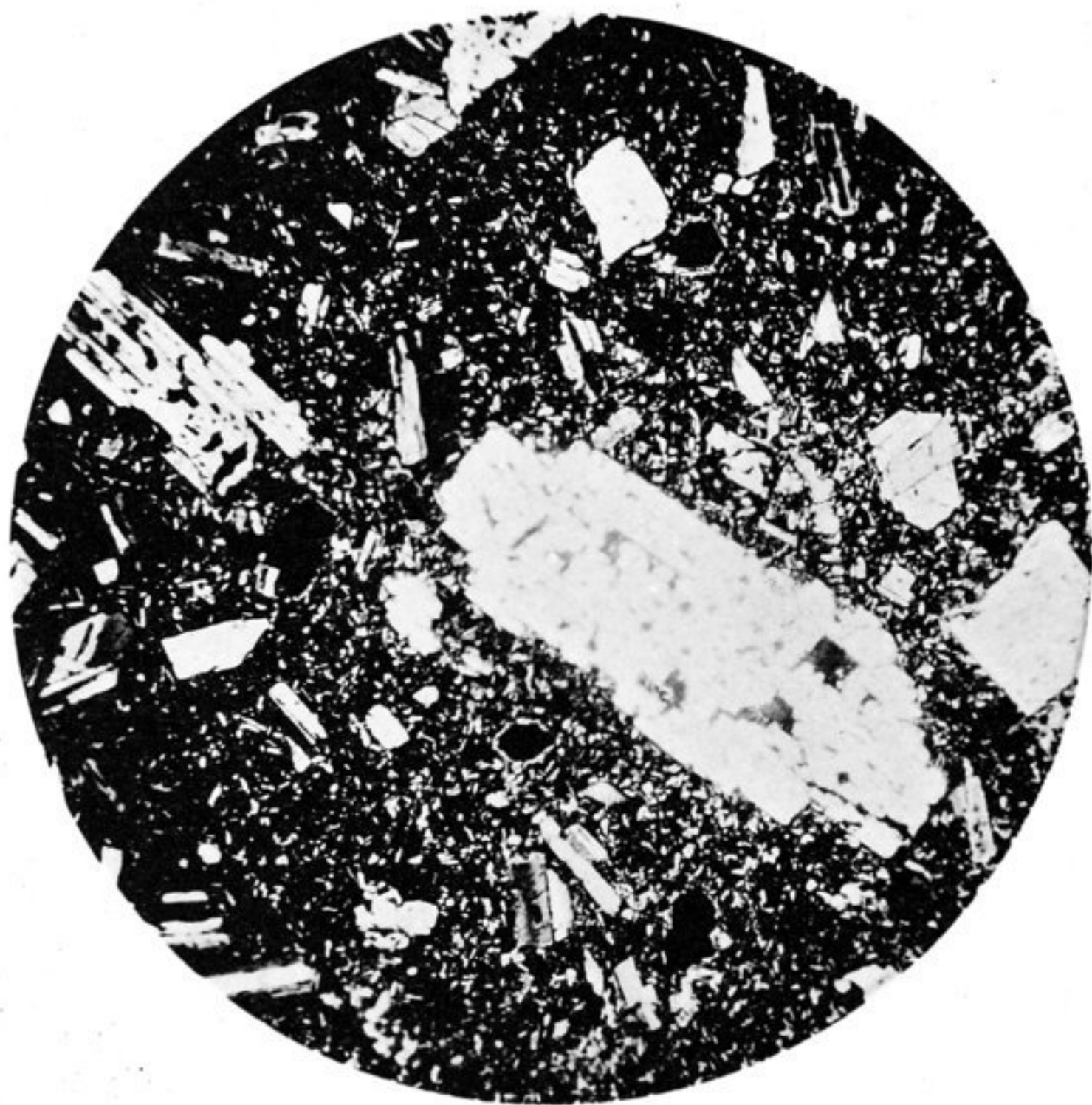




19.



20.



21.

Fig. 19. Glimmerartiger Einsprengling reich an Magnetit, Zersetzungsprodukt nach rhombischen Pyroxen in Pyroxenandesit (128). Heller Einsprengling von Augit in hyalopilitischer Grundmasse. Vergr. 35:1.
 Fig. 20. Olivinführender Augitandesit (129) mit zahlreichen Plagioklaseinsprenglingen und intersertaler Grundmasse (basaltischer Andesit). + Nicols. Vergr. 16:1. Fig. 21. Olivinführender Augitandesit (130). Grundmasseneinschlüsse im Plagioklaseinsprengling. + Nicols. Vergr. 16:1.